

стании нагрузки p в первую очередь будет достигнуто напряженно-деформированное состояние, отвечающее этой ветви. При $\lambda^{-1} < \lambda_*^{-1}$ (или $a < 7,85b$) предельная нагрузка p равна 1, что соответствует разрушению по достижении теоретического предела прочности. При $\lambda^{-1} \geq 55$ расхождение значений p , полученных по формуле Сака (3.11) и по формуле (1.6), не превосходит 3 %.

ЛИТЕРАТУРА

1. Александров В. М., Кудин И. И. Асимптотические методы в задаче Гриффитса // ПММ.— 1989.— Т. 53, вып. 4.
2. Панасюк В. В. Предельное равновесие хрупких тел с трещинами.— Киев: Наук. думка, 1968.
3. Желтов Ю. П., Христианович С. А. О гидравлическом разрыве нефтеносного пласта // Изв. АН СССР. ОТН.— 1955.— № 5.
4. Найфэ А. Х. Методы возмущений.— М.: Мир, 1976.
5. Градштейн И. С., Рыжик И. М. Таблицы интегралов, сумм, рядов и произведений.— М.: Наука, 1971.

г. Москва,
г. Ростов-на-Дону

Поступила 23/X 1992 г.

УДК 532.546

С. А. Сафонов

МОДЕЛИРОВАНИЕ ТЕПЛОВОГО РЕЖИМА ТРЕЩИНОВАТОГО ГЕОТЕРМАЛЬНОГО КОЛЛЕКТОРА

В работе предлагается модель теплообмена в недеформируемом трещиноватом геотермальном коллекторе, в которой учитывается термическое сопротивление блоков породы, составляющих пласт и теплообмен с окружающим пласт массивом.

Тепловой режим вертикального геотермального трещиноватого пласта в условиях неизотермической фильтрации без учета термического сопротивления блоков породы исследовался в [1]. Полуаналитический метод учета теплопотерь в блоках породы был предложен в [2]. В его основу положено допущение, что температура в блоке породы по нормали к его поверхности изменяется по закону $T_b(n, t) = (a + bn + cn^2) \exp(-n/\sqrt{a_b t})$ (n — нормаль, a_b — температуропроводность блока).

Рассмотрим задачу определения теплового режима трещиноватого горизонтального геотермального пласта в условиях неизотермической фильтрации в следующей постановке. Введем систему координат (x, y, z) так, чтобы плоскость $(z = 0)$ совпадала с кровлей пласта. Будем считать, что мощность пласта h много меньше толщины породы над ним. В этом случае задача симметрична относительно плоскости $\{z = h/2\}$. Предположим, что:

1) мощность пласта много меньше его размеров в плоскости Oxy и поле скорости фильтрации двумерно — отсутствует компонента скорости в направлении оси z , перпендикулярной пласту;

2) теплообмен на границе раздела твердой и жидкой фаз происходит настолько интенсивно (число Би $Bi = \alpha L_b / \lambda_b \gg 1$, α — коэффициент межфазного теплообмена, L_b — характерный размер блока породы, λ_b — теплопроводность его материала), что температуры фаз на границе выравниваются практически мгновенно, по сравнению с характерным временем эксплуатации пласта;

3) блоки породы, составляющие пласт, представляются в виде регулярно уложенных параллелепипедов;

© С. А. Сафонов, 1993

4) кондуктивным переносом тепла во вмещающем пласт массиве в направлении фильтрации можно пренебречь;

5) пласт является недеформируемым.

Анализ задачи основывается на уравнении теплового баланса фильтрующейся жидкости:

$$(1) \quad mc_w \frac{\partial T}{\partial t} + c_w \left(u \frac{\partial T}{\partial x} + v \frac{\partial T}{\partial y} \right) = Q_b + m\lambda_w \left(\frac{\partial^2 T}{\partial x^2} + \frac{\partial^2 T}{\partial y^2} + \frac{\partial^2 T}{\partial z^2} \right).$$

Здесь T — температура жидкости; u, v — компоненты скорости фильтрации; Q_b — источниковый член, обусловленный теплообменом жидкости с блоками породы; m — пористость (трещиноватость); λ_w и c_w — коэффициенты теплопроводности и объемной теплоемкости жидкости.

О средней (1) по z от 0 до $h/2$, получим

$$(2) \quad mc_w \frac{\partial \bar{T}}{\partial t} + c_w \left(u \frac{\partial \bar{T}}{\partial x} + v \frac{\partial \bar{T}}{\partial y} \right) = \bar{Q}_b + m\lambda_w \left(\frac{2}{h} \frac{\partial T}{\partial z} \Big|_{z=0} + \frac{\partial^2 \bar{T}}{\partial x^2} + \frac{\partial^2 \bar{T}}{\partial y^2} \right)$$

(чертка относится к среднему значению величины, в дальнейшем ее опускаем).

Движение жидкости описывается законом Дарси

$$(3) \quad u = - \frac{k_e}{\mu(T)} \frac{\partial p}{\partial x}, \quad v = - \frac{k_e}{\mu(T)} \frac{\partial p}{\partial y},$$

где p — давление; k_e — эффективная проницаемость изотропного пласта ([3]); $\mu(T)$ — вязкость жидкости. Согласно [4],

$$\mu(T) = 241 \cdot 10^{\frac{248}{133+T}} \text{ Н}\cdot\text{с}/\text{м}^2.$$

Уравнение баланса массы для пласта, вскрытого двумя скважинами отбора и закачки воды с равными дебитами, имеет вид

$$(4) \quad \frac{\partial u}{\partial x} + \frac{\partial v}{\partial y} = \frac{Q}{h} (\delta(x - x_{s0}, y - y_{s0}) - \delta(x - x_{st}, y - y_{st})).$$

Здесь $(x_{s0}, y_{s0}), (x_{st}, y_{st})$ — координаты плоских источника и стока, моделирующих скважины; Q — дебит скважин; δ — дельта-функция.

При $z = 0$ выполняются граничные условия 4-го рода:

$$T_r = T, \quad \lambda_r \frac{\partial T_r}{\partial z} = m\lambda_w \frac{\partial T}{\partial z}$$

(T_r — температура вмещающего массива, λ_r — коэффициент теплопроводности).

Тепловой поток со стороны массива определяется из уравнения теплопроводности

$$(5) \quad \frac{\partial T_r}{\partial t} = a_r \frac{\partial^2 T_r}{\partial z^2}$$

(a_r — коэффициент температуропроводности) с краевыми условиями

$$T_r(z, 0) = T_0, \quad T_r(0, t) = T(x, y, t).$$

О средненный по толщине пласта источниковый член в уравнении (2) будем определять из решения сопряженной задачи теплопроводности

$$(6) \quad \frac{\partial T_b}{\partial t} = a_b \left(\frac{\partial^2 T_b}{\partial \xi^2} + \frac{\partial^2 T_b}{\partial \eta^2} + \frac{\partial^2 T_b}{\partial \zeta^2} \right),$$

$$-a/2 < \xi < a/2, \quad -b/2 < \eta < b/2, \quad -c/2 < \zeta < c/2, \quad T_b(\xi, \eta, \zeta, 0) = T_0,$$

$$T_b(\pm a/2, \eta, \zeta, t) = T_b(\xi, \pm b/2, \zeta, t) = T_b(\xi, \eta, \pm c/2, t) = T(x, y, t)$$

(T_b — температура в блоке породы).

На бесконечном удалении от скважин температура жидкости равна T_0 в течение всего процесса фильтрации, а скорость фильтрации равна нулю. Полагаем, что на границе нагнетательной скважины мгновенно устанавливается температура нагнетаемой жидкости $T(x_{st}, y_{st}, t) = T_s$.

Решение краевой задачи (6) имеет вид [5]

(7)

$$T_b(\xi, \eta, \zeta, t) = T_0 f(\xi, \eta, \zeta, t) + \frac{\partial}{\partial t} \int_0^t T_b(\xi, \eta, \zeta, t-\chi) [1 - f(\xi, \eta, \zeta, \chi)] d\chi,$$

$$f(\xi, \eta, \zeta, \chi) = 8 \sum_{m,n,k=1}^{\infty} \frac{(-1)^{n+m+k+1}}{\mu_m \mu_n \mu_k} \times$$

$$\times \cos \left(\mu_n \frac{2\xi}{a} \right) \cos \left(\mu_m \frac{2\eta}{b} \right) \cos \left(\mu_k \frac{2\zeta}{c} \right) e^{-\chi \beta_{nmk}},$$

$$\mu_l = (2l-1) \pi/2, \quad l = n, m, k, \quad \beta_{nmk} = 4a_b [(\mu_n/a)^2 + (\mu_m/b)^2 + (\mu_k/c)^2].$$

Из (7) следует, что градиент температуры на границе блока породы $\xi = a/2$ при медленно протекающих процессах теплопереноса

$$\frac{\partial T_b}{\partial \xi}(\cdot, t) \Big|_{\xi=a/2} \cong T_0 \frac{\partial f}{\partial \xi}(\cdot, t) \Big|_{\xi=a/2} - \frac{\partial}{\partial t} \int_0^t \left[T(\cdot, \tau) - \chi \frac{\partial T}{\partial \tau}(\cdot, \tau) \right] \times$$

$$\times \frac{\partial f}{\partial \xi}(\cdot, \chi) \Big|_{\xi=a/2} d\chi,$$

а суммарный тепловой поток через указанную грань блока породы, приведенный к единице его объема (опускаем промежуточные выкладки),

$$(8) \quad q_a(t) = - \frac{1}{abc} \iint \frac{\partial T_b}{\partial \xi}(a/2, \eta, \zeta, t) d\eta d\zeta \cong \frac{16}{a^2} \left\{ -T_0 \sum_{n,m,k=1}^{\infty} \frac{e^{-\beta_{nmk} t}}{\mu_m^2 \mu_k^2} + \right.$$

$$\left. + \sum_{n,m,k=1}^{\infty} \frac{1}{\mu_m^2 \mu_k^2} \frac{\partial}{\partial t} \left[T \frac{1 - e^{-\beta_{nmk} t}}{\beta_{nmk}} - \frac{\partial T}{\partial t} \left[\frac{1 - e^{-\beta_{nmk} t}}{\beta_{nmk}^2} - \frac{t e^{-\beta_{nmk} t}}{\beta_{nmk}} \right] \right] \right\}.$$

Дифференцируя выражение под вторым знаком суммы в (8) по t и пренебрегая второй производной температуры по времени, вследствие сделанного допущения о медленном характере процесса теплопереноса имеем окончательно

$$q_a(t) \cong \frac{16}{a^2} \sum_{n,m,k=1}^{\infty} \frac{1}{\mu_m^2 \mu_k^2} \left[(T - T_0) e^{-\beta_{nmk} t} - \frac{\partial T}{\partial t} \frac{1 - e^{-\beta_{nmk} t} (1 + \beta_{nmk} t)}{\beta_{nmk}} \right].$$

Суммарный поток тепла через поверхность блока породы ($q_a(t)$ и $q_b(t)$ — тепловые потоки через грани $\eta = b/2$ и $\zeta = c/2$ соответственно)

$$(9) \quad Q(t) = 2(q_a(t) + q_b(t) + q_c(t)).$$

Поток тепла через границу между вмещающим массивом и пластом определяем из решения уравнения (5) с заданными краевыми условиями:

$$q_r = - \frac{2\lambda_r}{h} \frac{\partial T_r}{\partial z} \Big|_{z=0} = - \frac{2\sqrt{\lambda_r c_r}}{h} \frac{d}{dt} \int_0^t \frac{T(x, y, \tau) - T_0}{\sqrt{\pi(t-\tau)}} d\tau.$$

Для медленно протекающего процесса теплопереноса между вмещающим массивом и пластом получим [6]

$$(10) \quad q_r \cong \frac{2}{h} \sqrt{\frac{\lambda_r c_r}{\pi}} \left(\frac{T - T_0}{t^{0.5}} + \frac{\partial T}{\partial t} t^{0.5} \right)$$

(c_r — коэффициент объемной теплоемкости вещества вмещающего массива).

Система уравнений (2)–(4) с учетом (9) и (10) в безразмерных переменных приводится к виду

$$(11) \quad c(t) \frac{\partial \theta}{\partial t} + \frac{\partial(u\theta)}{\partial x} + \frac{\partial(v\theta)}{\partial y} = (1 - \theta) d(t) + mPe \left(\frac{\partial^2 \theta}{\partial x^2} + \frac{\partial^2 \theta}{\partial y^2} \right) +$$

$$+ \theta (\delta(x - x_{s0}, y - y_{s0}) - \delta(x - x_{si}, y - y_{si})),$$

$$\frac{\partial}{\partial x} \left(\bar{\mu} \frac{\partial p}{\partial x} \right) + \frac{\partial}{\partial y} \left(\bar{\mu} \frac{\partial p}{\partial y} \right) = \delta(x - x_{si}, y - y_{si}) - \delta(x - x_{s0}, y - y_{s0}),$$

$$u = -\bar{\mu} \frac{\partial p}{\partial x}, \quad v = -\bar{\mu} \frac{\partial p}{\partial y},$$

$$d(t) = 8(1-m)\epsilon_{bw}Fo \sum_{n,m,k=1}^{\infty} \frac{\mu_{nmk}^2 e^{-\mu_{nmk}^2 Fo t}}{\mu_n^2 \mu_m^2 \mu_k^2} + Ft^{-0.5},$$

$$c(t) = m + (1-m)\epsilon_{bw} \left(1 - 8 \sum_{n,m,k=1}^{\infty} \frac{e^{-\mu_{nmk}^2 Fo t} (1 + \mu_{nmk}^2 Fo t)}{\mu_n^2 \mu_m^2 \mu_k^2} \right) + Ft^{0.5},$$

$$\mu_{nmk}^2 = \mu_n^2 + \mu_m^2 (a/b)^2 + \mu_k^2 (a/c)^2$$

(при $Fo t > 1$ в выражениях для $c(t)$ и $d(t)$ можно ограничиться одним членом ряда).

Переменные x, y в (11) отнесены к расстоянию между скважинами L , компоненты скорости — к величине $V = Q/(hL)$, давление — к $\Delta P = Q\mu_0/(hk_e)$, $\mu_0 = \mu(T_0)$, время — к $L/V = hL^2/Q$. Безразмерная температура $\theta = (T - T_s)/\Delta T$, $\Delta T = T_0 - T_s$.

Безразмерные критерии Fo и F , характеризующие интенсивность теплообмена между блоками породы и жидкостью и между вмещающим массивом и жидкостью, имеют вид

$$Fo = \frac{a_b}{(a/2)^2} \frac{hL^2}{Q}, \quad F = 2\epsilon_{rw} L \sqrt{\frac{a_b}{\pi Q h}}.$$

Число Пекле $Pe = Q/(a_w h)$, $\epsilon_{bw} = c_b/c_w$, $\epsilon_{rw} = c_r/c_w$ (c_b — коэффициент объемной теплоемкости для блоков породы).

Отношение вязкостей

$$\bar{\mu} = \frac{\mu_0}{\mu(T)} = 10^{\frac{248(\Delta T(\theta-1))}{(133+T_0)(133+T_s+\theta\Delta T)}}.$$

Краевые условия: $\theta(x, y, 0) = 1$, $\theta(x, y, t) = 1$, $\partial p / \partial n = 0$ (на границе пласта, n — нормаль к границе), $\theta(x_{si}, y_{si}, t) = 0$.

При $a \rightarrow 0$ (при исчезающе малых размерах блоков породы), т. е. при $Fo \rightarrow \infty$, $c(t) \rightarrow m + (1-m)\epsilon_{bw} + Ft^{0.5}$ и $d(t) \rightarrow Ft^{-0.5}$. В этом случае система уравнений (11) соответствует системе уравнений гомогенной модели пористого пласта [6]. При $Fo = 0$, т. е. когда теплообмена между блоками породы и жидкостью не происходит, $c(t) = m + Ft^{0.5}$ и $d(t) = Ft^{-0.5}$.

Трещиноватость пласта определялась в соответствии с предположением о регулярной укладке блоков породы по формуле

$$m = 1 - N_x N_y N_z \frac{abc}{h h_x h_y},$$

где h_x, h_y — размеры пласта в плоскости Oxy ; $N_x N_y N_z$ — число блоков породы в пласте по координатным направлениям.

Поскольку $(N_z + 1)s + N_z a = h$ и т. д. (если s — фиксированная толщина трещин в пласте), то

$$m = 1 - \frac{(1 - s/h)(1 - s/h_x)(1 - s/h_y)}{(1 + s/a)(1 + s/b)(1 + s/c)}.$$

Для случая тонкого пласта ($h \ll h_x, h_y$)

$$m = 1 - \frac{1 - s/h}{(1 + s/a)(1 + s/b)(1 + s/c)}.$$

Если, кроме того, блоки породы представляют собой тонкие пластины ($a \ll b, c$), то

$$m = \frac{1 + a/h}{1 + a/s}.$$

Полная система критериев рассматриваемой задачи содержит восемь параметров: Fo , F , Pe , ϵ_{bw} , a/h , a/b , a/c , h/s , а также безразмерную функцию $\bar{\mu}(T_0, T_s)$ от двух размерных параметров. Получение интересующей час зависимости t_x (времени, в течение которого безразмерная температура в эксплуатационной скважине падает до $\theta = \chi$) сопряжено с проведением большого числа расчетов, поэтому численный анализ задачи был проведен при фиксированном значении $\epsilon_{bw} = 0,4$ (что отвечает соотношению объемных теплоемкостей гранита и воды), а также без учета кондуктивного переноса тепла в пласте ($Pe \gg 1$) для $\chi = 0,9$. Кроме того, параметры a/b и a/c были заменены одним $\alpha = a/b = a/c$ и полагалось, что $T_s = 10^{\circ}\text{C}$ и $T_0 = 50^{\circ}\text{C}$. Отношение мощности пласта к толщине трещин $h/s = 10^4$, отношение размера блока породы по координате z к мощности пласта $a/h = 0,01$. Варьировались параметры Fo , F и α .

Для решения уравнения теплового баланса использовалась явная консервативная разностная схема с аппроксимацией конвективного члена согласно схеме Ранчела [7] первого порядка точности, для решения уравнения для давления — итерационная процедура Гаусса — Зейделя.

Значения переменных в узлах расчетной сетки на оси симметрии течения — линии, соединяющей скважины, — определялись из разностных уравнений, в которых значения переменных в узловых точках, не входящих в расчетную область, исключались с помощью соотношений симметрии. Температура в точке расположения эксплуатационной скважины рассчитывалась как средневзвешенная (по значениям расхода жидкости) температура в четырех ближайших полуузлах расчетной сетки.

Расчеты проведены на сетке 51×21 с учетом симметрии течения. Расчетная область имела форму квадрата с длиной стороны в безразмерных единицах, равной 3, что было вполне достаточным для того, чтобы граничные условия на границе пласта, а они соответствовали граничным условиям для бесконечного пласта, не оказывали влияния на характеристики течения в окрестности скважин.

На рис. 1 приведены зависимости $t_{0,9}(F)$ для $\alpha \ll 1$ (блоки породы — тонкие пластины). Трещиноватость пласта m , согласно (19), равна 0,01.

При увеличении Fo эффективная объемная теплоемкость трещиноватого коллектора $c(t)$ увеличивается, что обусловливает замедление процесса теплообмена. Расслоение кривых по значениям Fo уменьшается при увеличении F , и при $F > 1$ для $Fo > 1$ термическое сопротивление блоков породы практически не оказывает влияния на тепловой режим пласта, который определяется только конвективным переносом тепла и теплообменом со вмещающим пластом массивом.

На рис. 2 и 3 приведены зависимости $t_{0,9}(\alpha)$ без учета теплообмена со вмещающим массивом при $F = 0$ и $0,25$ соответственно.

При увеличении α от 0 до ∞ трещиноватость пласта m монотонно возрастает от значения, отвечающего конфигурации блоков породы — протяженных пластин, до значения $m = 1$. Скорость фильтрации теплоносителя при этом падает и процесс остывания пласта замедляется. Одновременно при увеличении α уменьшаются размеры блоков породы, что интенсифицирует процесс теплообмена в пласте.

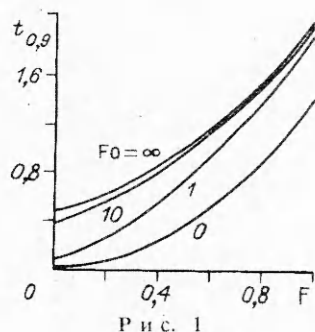


Рис. 1

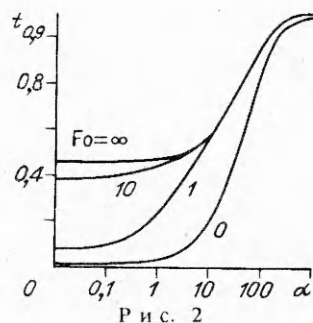


Рис. 2

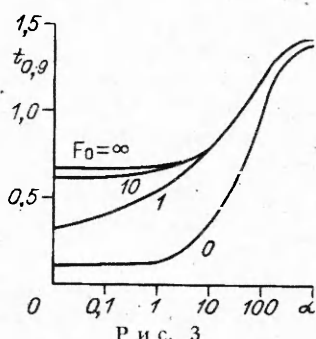


Рис. 3

Второй фактор, как видно из рис. 2 и 3, оказывает некоторое влияние на процесс теплообмена в пласте только в диапазоне $0 < \alpha < 1$. При $\alpha > 1$ с ростом α процесс теплообмена существенно замедляется, а при $\alpha > 10$ практически не зависит и от F_0 , за исключением диапазона $F_0 < 1$, т. е. когда теплообмен между блоками породы и жидкостью незначителен.

Зависимости $t_{0,9}(\alpha)$, приведенные на рис. 2 и 3, соответствуют переменной трещиноватости пласта. Зависимость $t_{0,9}(\alpha, m)$ имеет монотонно убывающий характер по α и монотонно возрастающий по m , что обусловливается тем, что при

жестком режиме отбора теплоносителя, когда дебиты нагнетательной и эксплуатационной скважин совпадают, скорость фильтрации теплоносителя, а следовательно, и интенсивность процесса теплообмена в пласте увеличиваются при росте α и уменьшении m , поскольку то и другое приводят к распределению фиксированного расхода по меньшему объему пласта, занятому теплоносителем.

ЛИТЕРАТУРА

1. Harlow F. H., Pracht W. E. A theoretical study of geothermal energy extraction // J. Geophys. Res. — 1972. — V. 77, N 35.
2. Vinsome P. K. W., Westerveld J. A simple method for predicting cap and base rock heat losses in thermal reservoir simulators // J. Can. Petrol. Technol. — 1980. — V. 19, N 3.
3. Голф-Рахт Т. Д. Основы нефтепромысловой геологии и разработки трещиноватых коллекторов. — М.: Недра, 1986.
4. Вуколович М. П. Термодинамические свойства воды и водяного пара. — М.: Энергия, 1965.
5. Лыков А. В. Теория теплопроводности. — М.: Высш. шк., 1967.
6. Булыгин В. Я., Локотунин В. А. Исследование неизотермической фильтрации двухфазной жидкости // Численное решение задач фильтрации многофазной несжимаемой жидкости: Сб. науч. тр. — Новосибирск: ИТПМ СО АН СССР, 1977.
7. Роуч П. Вычислительная гидродинамика. — М.: Мир, 1980.

г. Новосибирск

Поступила 6/V 1992 г.,
в окончательном варианте — 15/X 1992 г.

УДК 539.385+620.178.5

В. А. Долгоруков, В. Н. Шлянников

ФЕНОМЕНОЛОГИЧЕСКОЕ МОДЕЛИРОВАНИЕ ОСОБЕННОСТЕЙ ИНИЦИАЦИИ НАКЛОННЫХ ТРЕЩИН

Одним из важных элементов решений задач о несущей способности элементов конструкций с дефектами типа трещин, которые на практике ориентированы произвольным образом, является определение направления инициации разрушения θ^* . Значение этого угла оказывает существенное влияние на характер траектории разрушения и как следствие на долговечность элементов конструкций [1—3]. Поэтому оценка θ^* как одной из сторон критериального анализа в зависимости от краевых условий задач стала традиционным направлением изучения механики трещин. Обзор таких работ приведен в [4, 5].

В рамках таких исследований, однако, имеется ряд вопросов, не нашедших пока должного отражения в литературе, рассмотрение которых есть цель настоящей работы. К числу таких вопросов относятся концептуальное обоснование подходов к решению задачи и анализ феноменологической стороны процесса в сравнении с экспериментальными данными.

© В. А. Долгоруков, В. Н. Шлянников, 1993